



طراحی و ساخت تفنگ الکترونی جهت شتابدهنده الکترون با انرژی 10MeV

علی محمد پور صالح*, سعید حاصل طلب, محمد جواد موسوی, حسینعلی بابائی, مجتبی مرتضوی

سازمان انرژی اتمی, پژوهشگاه علوم و فنون هسته ای, پژوهشگاه کاربرد پرتوها

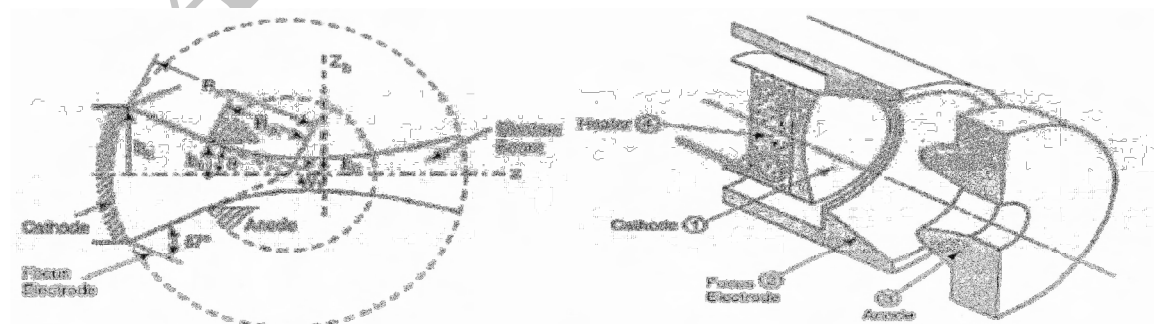
چکیده:

این مقاله به چگونگی طراحی و ساخت تفنگ الکترونی بهینه شده جهت اخشاب شتابدهنده الکترون پرداخته هرچند که منظور اصلی استفاده آن در یک شتابدهنده صنعتی الکترون با انرژی 10MeV و توان 100KW است. طراحی تفنگ الکترونی مورد نظر براساس ساختارترمویونی صورت گرفته و جهت کنترل بهینه جریان باریکه این تفنگ الکترونی بصورت تریود شامل الکترودهای کاتد گردید و آند میباشد با استفاده از مگتهاهی همگرانی باریکه الکترون خروجی کاملاً همگرا و دارای سطح مقطع بسیار مناسب بوده و قابلیت کنترل و انحراف جهت باریکه الکترون در راستای افقی و عمودی را دارد. حداکثر انرژی باریکه خروجی این تفنگ الکترونی 50KeV و محدوده کنترل جریان آن $0-20\text{mA}$ است.

کلید واژه: تفنگ الکترونی, شتابدهنده الکترون, ترمومیونی, تریود, مگنت همگرانی

مقدمه:

تفنگ الکترونی بعنوان منبع تولید الکترون یکی از اجزای اصلی شتابدهنده های الکترون میباشد. در شتابدهنده ها نیاز به باریکه الکترون اولیه ای است که سطح مقطع کوچک و توزیع انرژی و شدت جریان مناسبی داشته باشد. اغلب شتابدهنده های الکترون از تفنگ الکترونی با ساختارترمویونی استفاده می کنند. شکل ۱ ساختار یک تفنگ الکترونی ترمومیونی ساده را نشان می دهد که در آن حرارت تولیدی توسط یک سیم گرم کننده به یک صفحه فلزی بنام کاتد منتقل میشود و در مقابل کاتد الکترود آند جهت ایجاد یک میدان قوی قرار میگیرد.



شکل ۲: ساختار هندسی کاتد و آند

شکل ۱: ساختمان یک تفنگ الکترونی ساده



شرکت فرآوری اورانیوم و تولید سوخت هسته ای ایران (فاسا)

17th Iranian Nuclear Conference

در طراحی ساده ترین تفنگ الکترونی مطابق شکل ۲ توسط دو روزنے به شعاعهای b_c مربوط به کاتدو₁ مربوط به آند که در فاصله d از یکدیگر قراردارند در عمل محدودیت اساسی در مقدار جریانی که از این دو روزنے می گذرد وجود دارد این محدودیت در اثر بار فضای بین دو روزنے مستقل از b_1 است و فقط به نسبت آنها بستگی دارد مقدار جریان ماکزیمم تفنگ الکترونی با معادله (۱) بدست می آید [۱]

$$I_{max} = 38.5 T_0^{3/2} \left(\frac{2r_0}{d} \right)^2 \quad (1)$$

در این رابطه d فاصله آند از کاتد r_0 نسبت شعاع آند و کاتد و T_0 انرژی الکترون در روزنے آند است. همچنین با توجه به ابعاد و زاویه ای بین کاتد و آند نشان داده شده در شکل ۲ برای جریان عبوری از الکترون گان می توان از معادله (۲) استفاده نمود [۲]

$$I = 29.3 \times 10^{-6} \frac{1 - \cos \theta}{\alpha^2} V^{3/2} \quad (2)$$

که در آن γ^3 و $\gamma = \ln \frac{R_a}{R_c}$ و $\alpha = \gamma - 0.3\gamma^2 + 0.75\gamma^3$ و θ و ولتاژ بین کاتد و آند را با V نشان داده است در صورتیکه این رابطه را خلاصه کنیم می توان این رابطه را بصورت معادله (۳) نوشت [۲]

$$I = P \times V^{3/2} \quad (3)$$

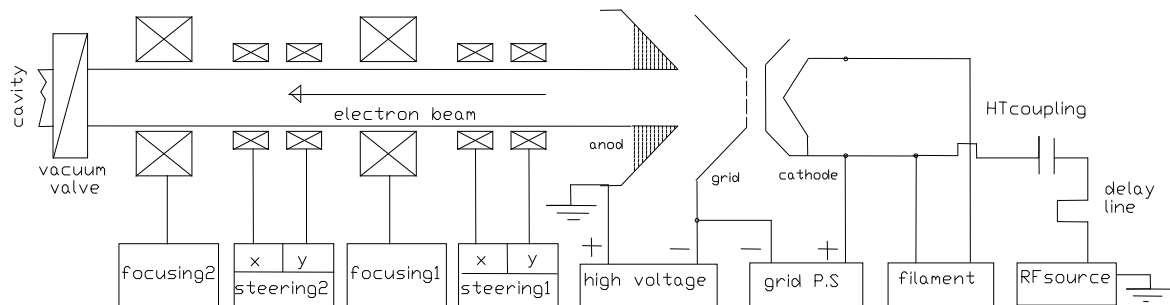
لذا در این رابطه فاکتور P یا perveance را داریم که این فاکتور وابسته به ساختار و پارامترهای هندسی تفنگ الکترونی است که فاکتور مهمی در طراحی تفنگ الکترونی است همچنین حداکثر جریان مورد نیاز در تفنگ الکترونی با توجه به توان و انرژی دستگاه شتابدهنده مورد نظر با توجه به معادله (۴) تعیین می گردد

$$W_{(kW)} = E_{(MeV)} \times I_{(mA)} \quad (4)$$

بطور مثال اگر توان شتابدهنده ۱۰۰kW و انرژی آن ۱۰MeV باشد میزان جریان حداکثر در خروجی تفنگ الکترونی در شتابدهنده موردنظر ۱۰ آمپر محاسبه می گردد. [۳,۴]

روش کار:

طراحی و ساخت تفنگ الکترونی مورد نظر جهت استفاده در یک شتابدهنده صنعتی الکترون بالانرژی و توان ۱۰۰KW و ۱۰MeV صورت گرفته است که طرح کلی آن مطابق شکل ۳ در نظر گرفته شده است

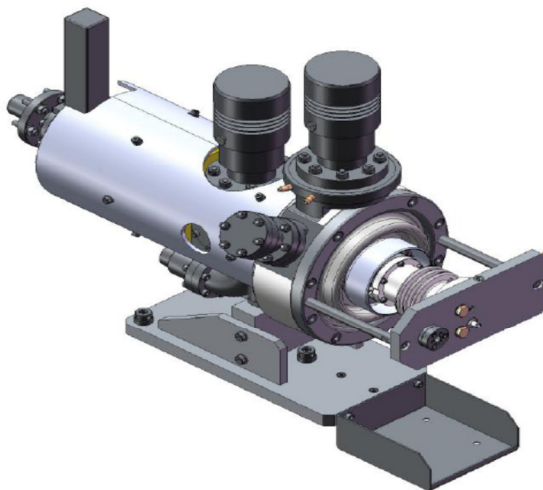


شکل ۳: طرح کلی تفنگ الکترونی

شرکت فرآوری اورانیوم و تولید سوخت هسته ای ایران (فاسا)

17th Iranian Nuclear Conference

ساختمار این تفنگ الکترونی باید به گونه ای باشد که قادر به تولید باریکه با سطح مقطع وامیانس مناسب بوده و قابلیت تنظیم جریان باریکه در محدوده توانی دستگاه شتابدهنده را داشته باشد چنانچه گفتیم منبع مولد الکترون اولیه کاتد می باشد اما جهت کنترل جریان الکترون خروجی کاتد از الکترود گردید که یک توری بسیار ریز است در فاصله نزدیکی مقابله استفاده می شود. قطعه اصلی مولد الکترون اولیه کاتد به شماره TH381 ساخت شرکت THALES در نظر گرفته شده است این قطعه شامل فیلمان گردید و کاتد است که اصطلاحاً "آنرا کاتد می نامیم که تصویر این قطعه در شکل ۴ نشان داده شده است [۵] همچنین این قطعه در تفنگ الکترونی می باشد در مقابل یک میدان الکتریکی قوی قرار گیرد که الکترود اصلی این میدان آند نامیده می شود لذا این گونه الکترون گان را بدلیل استفاده از سه الکترو اصلی کاتد گردید و آند تفنگ الکترونی تربیود مینامند [۶] در این قسمت به مباحث طراحی قطعات مربوط به بدنه اصلی و محفظه شتاب و مسیرهای عبوری باریک الکترون و همچنین به اصول کار تفنگ الکترونی طراحی شده می پردازیم. نمائی سه بعدی و کامل تفنگ الکترونی طراحی شده جهت شتابدهنده الکترون مورد نظر در شکل ۵ نشان داده شده است.



شکل ۵: نمای سه بعدی از تفنگ الکترونی طراحی شده

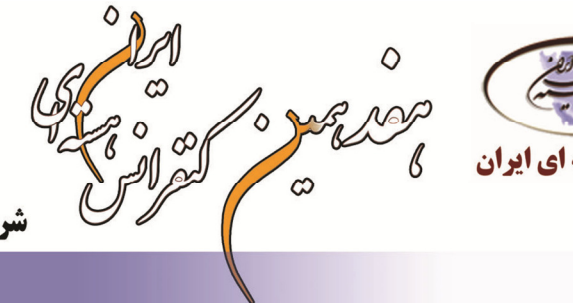
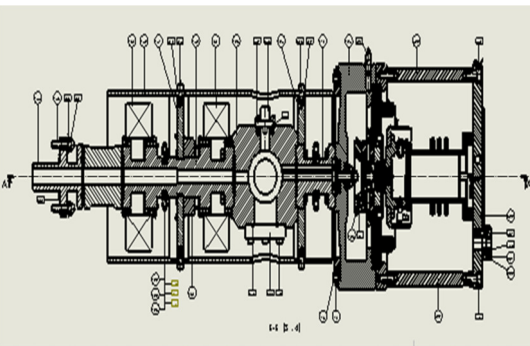


شکل ۴: کاتد مورد استفاده در تفنگ الکترونی

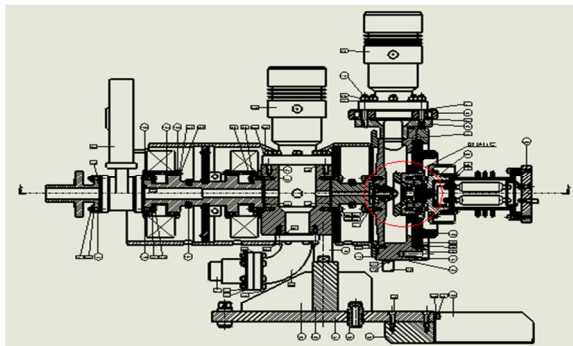
تفنگ الکترونی تشکیل شده از قطعات مکانیکی که بدلیل حفظ خلاء در مسیر باریکه الکترون، محل اتصال آنها به یکدیگر از صافی سطح بالای تشکیل شده است. جنس اغلب قطعات از فلز استیل ضد زنگ ۳۱۶ می باشد که هیچگونه پس ماند مغناطیسی را در خود نگه نمی دارد برای طراحی قطعات تفنگ الکترونی با توجه به الگو ارائه شده در شکل ۳ و فرمولهای ۱ الی ۴ ابعادو اندازه های قطعات مختلف تفنگ الکترونی طراحی وسپس توسط نرم افزار solid works مدلسازی گردیدند. شکلهای ۶ و ۷ جزئیات طرح درنمای جانبی و دید از بالا را نشان می دهد که شامل اجزای مربوط به پایه نگهدارنده و اتصالات کاتد و همچنین

شرکت فرآوری اورانیوم و تولید سوخت هسته ای ایران (فاسا)

17th Iranian Nuclear Conference



اتصالات ولتاژ بالا و محفظه شتاب یا روزنه آند محلهای اتصال پمپها و سنسورهای خلا مگنتهای متمرکز کننده و همچنین مگنتهای تعیین مسیر و یا انحراف باریکه الکترون در راستای افقی و عمودی است.



شکل ۷: نمای دید از بالا و برش بدنه تفنگ الکترونی همچنین شکل ۸ نقشه انفجاری و سه بعدی قطعات بدنه تفنگ الکترونی طراحی شده در نرم افزار solid works از طرف راست به چپ با جزئیات کامل از قطعات بکار رفته را نشان می دهد.



شکل ۸: نقشه انفجاری از قطعات بکار رفته در تفنگ الکترونی در این طرح ولتاژ تغذیه فیلمان در محدوده ۶ الی ۹.۵ ولت قبل تنظیم می باشد که می توان از نوع dc یا ac در نظر گرفت که در اینجا ولتاژ ac مورد نظر بوسیله یک ترانس با ورودی متغیر تامین میشود که بوسیله تغییر سیگنال متناوب ورودی محدوده مذکور قبل دسترس می باشد تغییر ولتاژ فیلمان بستگی به کاهش طول عمر و کاهش راندمان کاتد دارد بعارت دیگر شروع بکار کاتد با ولتاژ ۶ ولت می باشد و با کاهش راندمان این ولتاژ تا حدود ۹.۵ قابل افزایش است. جهت کنترل جریان باریکه از سطح کاتد بوسیله یک منع کنترلی که مطابق شکل ۱ بصورت بایاس معکوس به گردید نسبت به کاتد متصل است استفاده می کیم بطوری که اگر سطح این ولتاژ صفر باشد الکترونهای تولیدی از سطح کاتد تحت تاثیر میدان اعمالی از طرف آند بدون محدودیت و تا حداقل جریان نامی خود که با توجه به معادله (۱) محاسبه می گردد شتاب می گیرند اما در صورتیکه ولتاژ اعمالی بصورت معکوس افزایش یابد از شدت این جریان کاسته خواهد شد بنابراین با تغییر سطح ولتاژ اعمالی به گردید جریان باریکه الکترون در شتابدهنده قابل کنترل است که با توجه به توان

شرکت فرآوری اورانیوم و تولید سوخت هسته ای ایران (فاسا)

17th Iranian Nuclear Conference

شتابدهنده مورد نظر این محدوده بین ۰ تا ۱۰ میلی آمپر می باشد همچنین میزان میدان الکتریکی بین کاتد و آند در عمل بسیار مهم و تاثیر گذار در جریان باریکه الکترون می باشد میزان ولتاژ اعمالی بین آند و کاتد می باشد بالا و در چندین هزار ولت باشد که بستگی به فاصله بین آند و کاتد شکل الکترود آند و میزان خلا داخل تفنگ الکترونی دارد که در این طرح ۵۰kV در نظر گرفته شده است. از مباحث دیگر در طراحی تعیین میزان خلا موردنیاز و تجهیزات خلا از جمله نوع پمپهای خلا و سنسورهای اندازه گیری و محل نصب آنها می باشد در اینجا خلا در محدوده 10^{-9} mbar در نظر گرفتیم که توسط یک پمپ اولیه دیافراگمی و دو پمپ تربوایجاد میشود. با توجه به اینکه میدان ناشی از تجهیزات خلا و همچنین سایر میدان مغناطیسی خارج از محدوده تفنگ الکترونی بر روی مسیر حرکت باریکه الکترون تولیدی در تفنگ الکترونی تاثیر گذار است. جهت جلوگیری از نفوذ این میدانها قطعات مربوط به مسیر حرکت باریکه الکترون در یک پیوسته فلزی استوانه ای شکل قرار می گیرد این پیوسته شامل دونیمه بوده که تصویر آن در شکل ۸ مشاهده می شود. مگنت های همگرائی بکار رفته در واقع یک سیم پیچ با ۱۲۰۰ دور در ۳۴ لایه باسیم مسی به قطر ۱ میلیمتر است که بدلیل میدان یکنواخت و موازی در مسیر حرکت باریکه الکترون باعث همگرائی آن می شود. همچنین مگنت های منحرف کننده که در شکل ۱ اسیترینگ نامیده شده است شامل دو مگنت دو قطبی است که جهت انحراف باریکه در راستای عمودی و افقی مورد استفاده قرار می گیرد. شکل ۹ تصویر منبع تغذیه ولتاژ بالا (H.V) با قابلیت تولید ولتاژ DC 50KV با قدرت جریان دهی ۲۰mA و منبع تغذیه مربوط به مگنت های همگرائی و منحرف کننده با محدوده تغییرات ولتاژ در رنج ۱۸VDC +/- ۰.۰۱A و جریان ۰.۰۱mA و شکل ۱۰ مراحلی از ساخت تفنگ الکترونی ساخته شده در پژوهشکده کاربرد پرتوها را نشان می دهد.



شکل ۱۰: مراحلی از ساخت تفنگ الکترونی



شکل ۹: دستگاه منبع تغذیه ولتاژ بالا و تغذیه مگنتها

نتایج :

با توجه به آزمایشات صورت گرفته و ولتاژهای اعمالی مختلف به الکترود گردید و کاتد جریان عبوری از این دو الکترود مطابق نمودار شکل ۱۱ می باشد با توجه به این نمودار در می یابیم که در ولتاژ معکوس ۱۵۰V- بین گردید و کاتد هیچ جریانی از سد گردید عبور نمی کند ولی با کاهش این ولتاژ تا حد ۱۰۸V- جریانی کمی در حد A ۰.۰۱mA را شاهد هستیم و از ولتاژ ۱۰۸V- به بعد کاهش کم ولتاژ گردید باعث افزایش

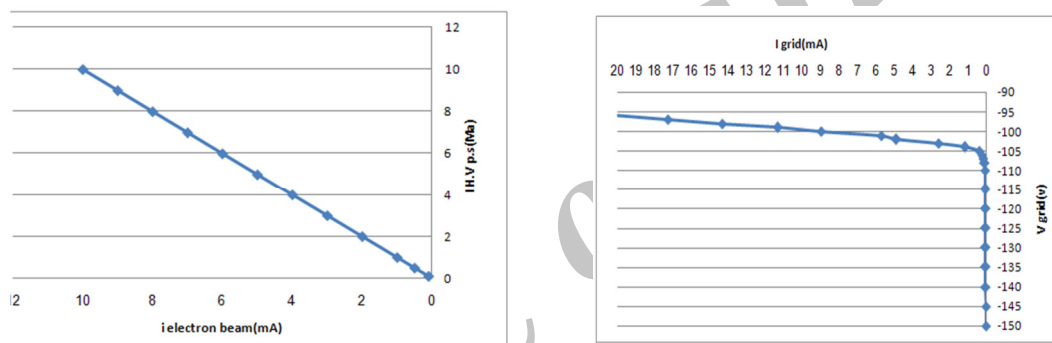


شرکت فرآوری اورانیوم و تولید سوخت هسته ای ایران (فاسا)

17th Iranian Nuclear Conference

زیاد جریان عبوری است و در ولتاژی حدود 96V-حداکثر جریان عبوری از گردید را شاهد هستیم. حداکثر جریان بهینه این تفنگ الکترونی با توجه به مشخصات کاتد و محاسبات بر اساس معادلات (۲) و (۳) و همچنین تستهای عملی در حدود ۲۰ میلی آمپر می باشد. همچنین با توجه به اندازه گیری انجام شده حداکثر انرژی باریکه خروجی از تفنگ الکترونی طراحی شده 50KeV است. طی آزمایش دیگری با توجه به اندازه گیری های صورت گرفته در جریانهای مختلف باریکه الکترون و جریان کشیده شده از منبع تغذیه ولتاژ بالا یک تناسب خطی مطابق نمودار شکل ۱۲ مشاهده میشود که این نتیجه با تحلیل فیزیکی کاملاً "سازگاری دارد. زیرا در هنگام عبور باریکه الکترون از میدان ناشی از الکترود آند متناظر با ذرات الکترون با بارمنفی نیاز به بارمثبت است که باعث میشود جریان باریکه الکترون و جریان کشیده شده از منبع تغذیه یکسان باشد.

شکل ۱۲: ارتباط بین ولتاژ و جریان عبوری از گردید کاتد



بحث و نتیجه گیری:

تفنگ الکترونی طراحی شده دارای قابلیت‌های ویژه‌ای است که سطح مقطع کاملاً "همگرا با قابلیت تنظیم همگرائی و انحراف در راستای افقی و عمودی و قابلیت تغییر سطح انرژی و همچنین جریان باریکه خروجی در محدوده مورد نظر برخی از ویژگی‌های آن است ولذا تفنگ الکترونی طراحی شده علاوه بر استفاده در شتابدهنده الکترون مورد نظر ربا اطمینان بالا قابل استفاده در انواع شتابدهنده‌های صنعتی الکترون نیز می‌باشد.

مراجع:

- [1] محمد بلوری زاده، فیزیک اتمی و ملکولی روشهای تجربی، نشر فلامک، صفحات ۱۷۶—۱۸۳، سال ۱۳۸۱
- [2] c.g.karmark, medical electron accelerators, standford university ,page 67-69, 1993
- [3] J.pottier,;a new type of RF electron accelerator ;nucl.instr.meth.phys.res, b40,94, 1989
- [4] m.stanley Livingston,john p.blewett.particle accelerators.page 106-118,1986
- [5] iba document-rhodotron tt200-j2-control system&wiring [wbs 25.01.08.00]-1998
- [6] arvind jain,a.r.chindarkar,k.c.mittal;design and operating experiance of triode electron guns for industrial electron accelerators:bhabha atomic centre,Mumbai 400085,2007